

Динамика круглых трехслойных пластин на упругом основании при осесимметричном нагружении

Э. И. Старовойтов, Д. В. Леоненко

Белорусский государственный университет транспорта, Гомель, Беларусь

Рассмотрены осесимметричные поперечные колебания круглой трехслойной пластины с легким заполнителем на упругом основании под действием внезапно приложенных и импульсных поверхностных нагрузок. Реакция основания описывается моделью Винклера. Для анализа кинематики несимметричного по толщине пакета приняты гипотезы ломаной нормали. Аналитические решения получены с использованием системы функций Хевисайда и δ -функции Дирака. Проведены численные расчеты и сравнительный анализ полученных решений.

Ключевые слова: упругость, колебания, трехслойные пластины, основание Винклера, импульс.

О б о з н а ч е н и я

ρ_k	– плотность материала k -го слоя, $k = 1, 2, 3$
$q(r, t)$	– внешняя распределенная нагрузка
q_0, q_1	– интенсивность распределенной и импульсной нагрузки соответственно
$q_n(t)$	– коэффициенты разложения нагрузки в ряд по собственным функциям
q_R	– реакция основания
κ_0	– коэффициент жесткости упругого основания
$w(r, t)$	– прогиб пластины
$\psi(r, t)$	– относительный сдвиг в заполнителе
$u(r, t)$	– радиальное перемещение срединной плоскости заполнителя
G_k, K_k	– модули сдвига и объемной деформации
r_l	– радиус пластины
v_n	– фундаментальная ортонормированная система собственных функций
d_n	– нормировочный коэффициент
$T_n(t)$	– функция времени в разложении в ряд по системе собственных функций
J_0, J_1	– функции Бесселя нулевого и первого порядков соответственно
I_0, I_1	– модифицированные функции Бесселя нулевого и первого порядков соответственно
λ_n	– собственные числа
ω_n	– частоты собственных колебаний
A_n, B_n	– константы интегрирования
$H_0(r)$	– функция Хевисайда
$\delta(t)$	– функция Дирака
h_k	– толщина k -го слоя, $k = 1, 2, 3$ – номер слоя

Введение. Слоистые конструкции используются в качестве элементов корпусов авиационных аппаратов, космических объектов, обшивки вагонов, строительных панелей, электронных плат и т. д. Одним из их видов являются трехслойные пластины. Поперечные колебания пластин, не связанных с упругим основанием, исследовались в [1–5], работа [6] посвящена колебаниям трехслойного стержня со сжимаемым заполнителем. Поведение многослойных пластин и оболочек при нестационарных нагрузлениях исследовалось в [7, 8]. Квазистатическое деформирование круговой трехслойной пластины, расположенной на упругом винклеровском основании, при воздействии термо-силовых нагрузок рассматривалось ранее [9, 10].

В настоящей работе исследуются малые осесимметричные поперечные колебания несимметричной по толщине трехслойной пластины круглой формы, связанной с упругим основанием Винклера, возбужденные локальными и импульсными поверхностными распределенными нагрузками.

Постановка задачи. Используется цилиндрическая система координат r , ϕ , z (рис. 1), связанная со срединной плоскостью заполнителя. Для изотропных несущих слоев толщиной h_1 , h_2 принятые гипотезы Кирхгоффа. Несжимаемый по толщине заполнитель ($h_3 = 2c$) – легкий, т.е. в нем пренебрегается работа касательных напряжений σ_{rz} в тангенциальном направлении. Деформированная нормаль заполнителя остается прямолинейной, но поворачивается на некоторый дополнительный угол ψ . На границах слоев перемещения непрерывны. На контуре пластины предполагается наличие жесткой диафрагмы, препятствующей относительному сдвигу слоев. Внешняя вертикальная нагрузка не зависит от координаты ϕ : $q = q(r, t)$. На наружную грань второго несущего слоя действует реакция упругого основания q_R .

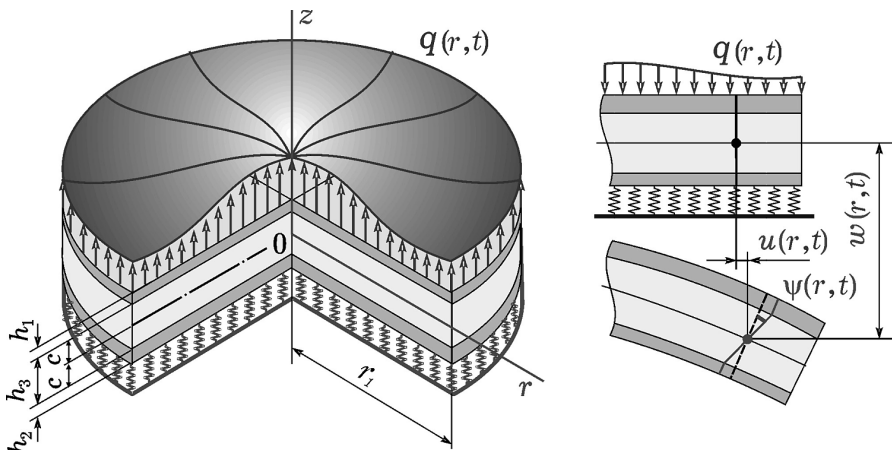


Рис. 1. Расчетная схема круглой трехслойной пластины на упругом основании.

В силу симметрии задачи тангенциальные перемещения в слоях отсутствуют, а прогиб пластины w , относительный сдвиг в заполнителе ψ и радиальное перемещение координатной поверхности u не зависят от координаты ϕ , т.е. $w = w(r, t)$, $\psi = \psi(r, t)$, $u = u(r, t)$. Далее эти функции полагаем исковыми.

Связь между реакцией и прогибом принимается в соответствии с моделью Винклера:

$$q_R = \kappa_0 w,$$

где κ_0 – коэффициент жесткости упругого основания.

Система дифференциальных уравнений в частных производных, описывающая вынужденные поперечные колебания круглой трехслойной пластины, связанной с упругим безынерционным основанием, без учета обжатия и инерции вращения нормали в слоях, выводится из вариационного принципа Лагранжа с учетом вариации работы сил инерции [3]. В нашем случае в третьем уравнении добавится реакция упругого основания:

$$\begin{cases} L_2(a_1 u + a_2 \psi - a_3 w_{,r}) = 0; \\ L_2(a_2 u + a_4 \psi - a_5 w_{,r}) = 0; \\ L_3(a_3 u + a_5 \psi - a_6 w_{,r}) = M_0 \ddot{w} - \kappa_0 w = -q, \end{cases} \quad (1)$$

где $M_0 = \rho_1 h_1 + \rho_2 h_2 + \rho_3 h_3$; L_2 , L_3 – дифференциальные операторы; a_i – коэффициенты,

$$a_1 = \sum_{k=1}^3 h_k K_k^+; \quad a_2 = c(h_1 K_1^+ - h_2 K_2^+); \quad K_k^+ \equiv K_k + \frac{4}{3} G_k;$$

$$a_3 = h_1 \left(c + \frac{1}{2} h_1 \right) K_1^+ - h_2 \left(c + \frac{1}{2} h_2 \right) K_2^+; \quad a_4 = c^2 \left(h_1 K_1^+ + h_2 K_2^+ + \frac{2}{3} c K_3^+ \right);$$

$$a_5 = c \left[h_1 \left(c + \frac{1}{2} h_1 \right) K_1^+ + h_2 \left(c + \frac{1}{2} h_2 \right) K_2^+ + \frac{2}{3} c^2 K_3^+ \right];$$

$$a_6 = h_1 \left(c^2 + ch_1 + \frac{1}{3} h_1^2 \right) K_1^+ + h_2 \left(c^2 + ch_2 + \frac{1}{3} h_2^2 \right) K_2^+ + \frac{2}{3} c^3 K_3^+;$$

$$L_2(g) \equiv \left(\frac{1}{r} (rg)_{,r} \right)_{,r} \equiv g_{,rr} + \frac{g_{,r}}{r} - \frac{g}{r^2};$$

$$L_3(g) \equiv \frac{1}{r} (rL_2(g))_{,r} \equiv g_{,rrr} + \frac{2g_{,rr}}{r} - \frac{g_{,r}}{r^2} + \frac{g}{r^3};$$

G_k , K_k – модули сдвига и объемной деформации материала k -го слоя.

Задача определения функций $u(r, t)$, $\psi(r, t)$, $w(r, t)$ замыкается присоединением к (1) граничных и начальных условий:

$$w(r, 0) \equiv f(r); \quad \dot{w}(r, 0) \equiv g(r). \quad (2)$$

Собственные колебания. Рассмотрим однородную систему дифференциальных уравнений, описывающую собственные колебания круглой трехслойной пластины на упругом безынерционном основании, которая следует из (1) при $q = 0$ и после некоторых преобразований приводится к виду

$$\begin{aligned} u &= b_1 w_{,r} + C_1 r + C_2 / r; \quad \psi = b_2 w_{,r} + C_3 r + C_4 / r; \\ L_3(w_{,r}) + \kappa^4 w + M^4 \ddot{w} &= 0, \end{aligned} \quad (3)$$

где

$$\begin{aligned} b_1 &= \frac{a_3 a_4 - a_2 a_5}{a_1 a_4 - a_2^2}; \quad b_2 = \frac{a_1 a_5 - a_2 a_3}{a_1 a_4 - a_2^2}; \quad \kappa^4 = \kappa_0 D; \\ M^4 &= M_0 D; \quad D = \frac{a_1(a_1 a_4 - a_2^2)}{(a_1 a_6 - a_3^2)(a_1 a_4 - a_2^2) - (a_1 a_5 - a_2 a_3)^2}. \end{aligned}$$

В связи с ограниченностью искомого решения в начале координат для сплошных пластин необходимо положить $C_2 = C_4 = 0$.

Искомый прогиб при свободных колебаниях принимается в виде

$$w(r, t) = v(r)(A \cos(\omega t) + B \sin(\omega t)), \quad (4)$$

где $v(r)$ – неизвестная координатная функция; ω – частота собственных колебаний рассматриваемой пластины; A и B – константы интегрирования, определяемые из начальных условий (2).

После подстановки выражения (4) в последнее уравнение системы (3) следует уравнение для определения координатной функции $v(r)$:

$$L_3(v_{,r}) - \lambda^4 v = 0. \quad (5)$$

Здесь введены обозначения:

$$\lambda^4 = \beta^4 - \kappa^4; \quad \beta^4 = M^4 \omega^2. \quad (6)$$

Решение уравнения (5) можно представить в виде [11]

$$v(\lambda r) = C_5 J_0(\lambda r) + C_6 I_0(\lambda r) + C_7 Y_0(\lambda r) + C_8 K_0(\lambda r), \quad (7)$$

где J_0 , Y_0 – функции Бесселя нулевого порядка (нижний индекс) первого и второго рода (функция Неймана) соответственно; I_0 , K_0 – модифицированная функция Бесселя и функция Макдональда нулевых порядков; C_5, \dots, C_8 – константы интегрирования.

Не останавливаясь на описании указанных функций, отметим, что $Y_0(\lambda r)$ и $K_0(\lambda r)$ имеют особенность типа логарифма в начале координат [12], т.е. в центре пластины. Поэтому необходимо в (7) положить постоянные интегрирования $C_7 = C_8 = 0$.

При защемленном контуре трансцендентное уравнение для определения собственных чисел λ_n круглой трехслойной пластины, связанной с упругим безынерционным основанием, следует из соответствующих граничных условий:

$$I_1(\lambda r_1)J_0(\lambda r_1) + J_1(\lambda r_1)I_0(\lambda r_1) = 0. \quad (8)$$

Если контур шарнирно оперт, то аналогичное уравнение принимает вид

$$\begin{aligned} & J_0(\lambda r_1) \left[a_7 \left(\lambda I_0(\lambda r_1) - \frac{I_1(\lambda r_1)}{r_1} \right) + \frac{a_8}{r_1} I_1(\lambda r_1) \right] + \\ & + I_0(\lambda r_1) \left[a_7 \left(\lambda J_0(\lambda r_1) - \frac{J_1(\lambda r_1)}{r_1} \right) + \frac{a_8}{r_1} J_1(\lambda r_1) \right] = 0, \end{aligned} \quad (9)$$

где

$$\begin{aligned} a_7 &= a_6 - a_3 b_1 - a_5 b_2; \quad a_8 = a_{60} + a_3 b_1 + a_5 b_2; \\ a_{60} &= h_1 \left(c^2 + ch_1 + \frac{1}{3} h_1^2 \right) K_1^- + h_2 \left(c^2 + ch_2 + \frac{1}{3} h_2^2 \right) K_2^- + \frac{2}{3} c^3 K_3^-; \\ K_k^- &\equiv K_k - \frac{2}{3} G_k. \end{aligned}$$

После численного решения уравнений (8), (9) параметры β_n и частоты собственных колебаний ω_n определяются через собственные числа λ_n из формул (6).

В общем случае для описания прогиба рассматриваемой пластины при свободных поперечных колебаниях вводится система собственных ортонормированных функций $v_n \equiv v(\lambda_n, r)$:

$$v_n \equiv \frac{1}{d_n} \left[J_0(\lambda_n r) - \frac{J_0(\lambda_n r_1)}{I_0(\lambda_n r_1)} I_0(\lambda_n r) \right]. \quad (10)$$

Здесь учитывалось вытекающее из граничного условия $w = 0$ соотношение между константами интегрирования $C_6 = -C_5 J_0(\lambda r_1)/I_0(\lambda r_1)$. Константы d_n определяются из требования нормировки функции (10):

$$d_n^2 = \int_0^{r_1} \left[J_0(\lambda_n r) - \frac{J_0(\lambda_n r_1)}{I_0(\lambda_n r_1)} I_0(\lambda_n r) \right]^2 r dr.$$

В окончательном виде искомый динамический прогиб трехслойной круглой пластины на упругом безынерционном основании представляется с помощью разложения в ряд по фундаментальной системе собственных ортонормированных функций (10):

$$w(r, t) = \sum_{n=0}^{\infty} v_n (A_n \cos(\omega_n t) + B_n \sin(\omega_n t)). \quad (11)$$

Радиальное перемещение и относительный сдвиг следуют из первых двух уравнений системы (3) и условия на контуре $\psi(r_1, t) = u(r_1, t) = 0$:

$$\begin{aligned} u(r, t) &= b_1 \sum_{n=0}^{\infty} \varphi_n (A_n \cos(\omega_n t) + B_n \sin(\omega_n t)); \\ \psi(r, t) &= b_2 \sum_{n=0}^{\infty} \varphi_n (A_n \cos(\omega_n t) + B_n \sin(\omega_n t)), \end{aligned} \quad (12)$$

где система функций $\varphi_n \equiv \varphi_n(\lambda_n, r)$ следующая:

$$\varphi_n(\lambda_n, r) = \frac{\lambda_n}{d_n} \left[J_1(\lambda_n r_1) r - J_1(\lambda_n r) + \frac{J_0(\lambda_n r_1)}{I_0(\lambda_n r_1)} (I_1(\lambda_n r_1) r - I_1(\lambda_n r)) \right].$$

Коэффициенты A_n, B_n в формулах (11), (12) определяются начальными условиями движения (2).

Вынужденные колебания. Для описания вынужденных колебаний рассматриваемой пластины внешняя нагрузка $q(r, t)$ и искомые перемещения $u(r, t), \psi(r, t), w(r, t)$ представляются в виде разложений в ряд:

$$\begin{aligned} q(r, t) &= M_0 \sum_{n=0}^{\infty} v_n q_n(t); \\ u(r, t) &= b_1 \sum_{n=0}^{\infty} \varphi_n T_n(t); \quad \psi(r, t) = b_2 \sum_{n=0}^{\infty} \varphi_n T_n(t); \quad w(r, t) = \sum_{n=0}^{\infty} v_n T_n(t). \end{aligned} \quad (13)$$

Коэффициенты разложения нагрузки в ряд $q_n(t)$ получим, умножив первое из соотношений (13) на v_n и проинтегрировав его по площади пластины. В силу ортонормированности системы собственных функций v_n (10) имеем

$$q_n(t) = \frac{1}{M_0} \int_0^{r_1} q(r, t) v_n r dr. \quad (14)$$

Уравнение для определения неизвестной функции времени $T_n(t)$ следует из третьего уравнения системы (3) после подстановки в него выражений (13) и использования линейной связи функций v_n, φ_n :

$$\ddot{T}_n + \omega_n^2 T_n = q_n. \quad (15)$$

Общее решение уравнения (15) имеет вид

$$T_n(t) = A_n \cos \omega_n t + B_n \sin \omega_n t + \frac{1}{\omega_n} \int_0^t \sin \omega_n(t-\tau) q_n(\tau) d\tau. \quad (16)$$

Коэффициенты A_n , B_n определяются из начальных условий (2):

$$A_n = \int_0^{r_1} f(r) v_n r dr; \quad B_n = \frac{1}{\omega_n} \int_0^{r_1} g(r) v_n r dr. \quad (17)$$

Результаты расчетов. Рассмотрим несколько примеров локального и импульсного внешнего осесимметричного силового воздействия на пластину. Для удобства аналитической записи нагрузки воспользуемся функцией Хевисайда $H_0(r)$ и δ -функцией Дирака $\delta(t)$. Задача, как правило, сводится к отысканию параметров $q_n(t)$ разложения в ряд заданной нагрузки и определению функции времени $T_n(t)$.

Численный расчет проводили для защемленной по контуру пластины единичного радиуса, слои которой состоят из материалов Д16Т–фторопласт–Д16Т. Соответствующие механические характеристики материалов приведены в [3]. Собственные частоты колебаний ω_n вычисляли по формуле (6) с использованием приведенных выше собственных чисел и геометрических параметров слоев $h_1 = h_2 = 0,01$, $h_3 = 2c = 0,1$. Начальные условия предполагались нулевыми, что в соответствии с (17) позволяет положить константы интегрирования $A_n = 0$, $B_n = 0$.

1. На пластину действует динамическая внезапно приложенная поверхностная нагрузка, равномерно распределенная по кругу радиуса $b \leq r_1$:

$$q(r, t) = q_0(t) H_0(b - r). \quad (18)$$

Подставим нагрузку (18) в формулу (14) и получим интегральное выражение для вычисления $q_n(t)$:

$$q_n(t) = \frac{q_0(t)}{M_0 d_n} \int_0^{r_1} H_0(b - r) \left(J_0(\lambda_n r) - \frac{J_0(\lambda_n r_1)}{I_0(\lambda_n r_1)} I_0(\lambda_n r) \right) r dr.$$

В результате вычисления интегралов от произведения функций Хевисайда и Бесселя получим

$$q_n(t) = \frac{q_0(t) b}{M_0 d_n \lambda_n} \left(J_1(\lambda_n b) - \frac{J_0(\lambda_n r_1)}{I_0(\lambda_n r_1)} I_1(\lambda_n b) \right).$$

После этого решение задачи о вынужденных колебаниях пластины на упругом основании определяется соотношениями (4), а функция $T_n(t)$ – по формуле (16). Если интенсивность равномерной внешней нагрузки q_0 постоянна по модулю, то при нулевых начальных условиях получим

$$T_n(t) = \frac{q_0 b (1 - \cos(\omega_n t))}{M_0 d_n \lambda_n \omega_n^2} \left(J_1(\lambda_n b) - \frac{J_0(\lambda_n r_1)}{I_0(\lambda_n r_1)} I_1(\lambda_n b) \right). \quad (19)$$

Рис. 2 иллюстрирует нелинейность роста максимального прогиба пластины с увеличением радиуса b пятна локальной нагрузки. Наличие упругого основания несколько изменяет характер кривой, при этом прогиб уменьшается в четыре раза при нагрузке в десять раз большей.

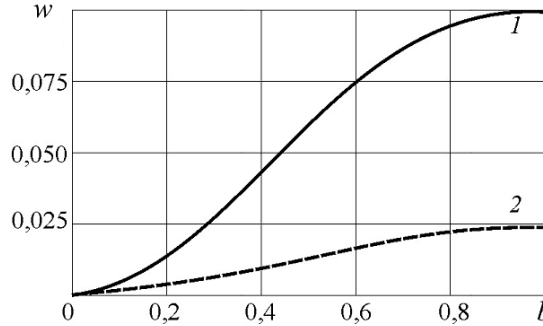


Рис. 2. Зависимость прогиба в центре пластины от радиуса пятна локальной нагрузки: 1 – без упругого основания ($t = 0,033$ с, $q_0 = 7 \cdot 10^4$ Па); 2 – $\kappa_0 = 10^8$ Па/м ($t = 0,026$ с, $q_0 = 7 \cdot 10^5$ Па).

2. Рассмотрим случай внешней нагрузки, когда в начальный момент времени ($t = 0$) на поверхность пластины, ограниченную окружностью радиуса $b \leq r_1$, воздействует мгновенный равномерно распределенный импульс

$$q(r, t) = q_1 \delta(t) H_0(b - r). \quad (20)$$

Тогда

$$\begin{aligned} q_n(t) &= \frac{q_1 \delta(t) b}{M_0 d_n \lambda_n} \left(J_1(\lambda_n b) - \frac{J_0(\lambda_n r_1)}{I_0(\lambda_n r_1)} I_1(\lambda_n b) \right); \\ T_n(t) &= \frac{q_1 b \sin(\omega_n t)}{M_0 d_n \lambda_n \omega_n} \left(J_1(\lambda_n b) - \frac{J_0(\lambda_n r_1)}{I_0(\lambda_n r_1)} I_1(\lambda_n b) \right). \end{aligned} \quad (21)$$

Отсюда в частном случае $b = r_1$ получим решение для импульсного воздействия на всю внешнюю поверхность круглой трехслойной пластины.

На рис. 3 показано изменение прогиба вдоль радиуса пластины, соответствующего максимуму функции (21) при воздействии импульса $q_1 = 700$ Па · с, распределенного по всей поверхности пластины. Учет реакции упругого основания приводит к уменьшению прогиба в четыре раза. С увеличением жесткости основания максимальный прогиб уменьшается еще в 2,7 раза.

3. На исследуемую круглую трехслойную пластину действует динамическая внезапно приложенная поверхностная нагрузка, равномерно распределенная по кольцу $a \leq r \leq b$. Тогда внешнюю нагрузку можно записать как разность двух нагрузок (18):

$$q(r, t) = q_0(t) (H_0(b - r) - H_0(r - a)).$$

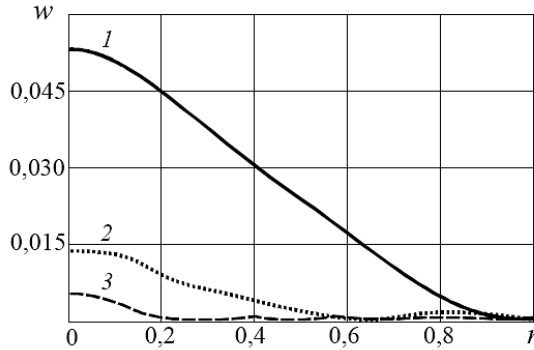


Рис. 3. Изменение прогиба вдоль радиуса при локальном импульсном нагружении: 1 – без упругого основания, $\kappa_0 = 0$, $t = \pi/(2\omega_0)$; 2 – $\kappa_0 = 10^8$ Па/м, $t = 0,0325$ с; 3 – $\kappa_0 = 10^9$ Па/м, $t = 0,0275$ с.

Решение задачи получим в виде разности двух решений (19). Коэффициенты разложения нагрузки в ряд по системе собственных функций будут:

$$q_n(t) = \frac{q_0(t)}{M_0 d_n \lambda_n} \left(b J_1(\lambda_n b) - a J_1(\lambda_n a) - \frac{J_0(\lambda_n r_1)}{I_0(\lambda_n r_1)} (b I_1(\lambda_n b) - a I_1(\lambda_n a)) \right),$$

после чего для стационарной внешней нагрузки $q_0 = \text{const}$ получим

$$\begin{aligned} T_n(t) &= \frac{q_0(1 - \cos(\omega_n t))}{M_0 d_n \lambda_n \omega_n^2} \times \\ &\times \left(b J_1(\lambda_n b) - a J_1(\lambda_n a) - \frac{J_0(\lambda_n r_1)}{I_0(\lambda_n r_1)} (b I_1(\lambda_n b) - a I_1(\lambda_n a)) \right). \end{aligned} \quad (22)$$

При $a = 0$ из (22) следует решение (19).

На рис. 4 показано изменение формы и величины прогиба пластины, не связанной и связанной с упругим основанием, в зависимости от расположения кольцевого пятна нагрузки. Его ширина $b - a = 0,25$, интенсивность нагрузки $q_0 = 7000$ Па, момент времени $t = \pi/\omega_0$ соответствует максимальному значению функции (22). При отсутствии основания наименьший прогиб возникает при нагрузке, сосредоточенной у контура, наибольший – при распределении нагрузки по кольцу, $0,25 \leq r \leq 0,5$. При наличии упругого основания с жесткостью $\kappa_0 = 10^8$ Па/м максимальный прогиб уменьшается в 4,5 раза и достигается при нагрузке, распределенной в интервале $0,5 \leq r \leq 0,75$.

4. Мгновенный равномерно распределенный импульс поверхностной нагрузки действует на кольцевую поверхность пластины ($a \leq r \leq b$). Соответствующую интенсивность нагрузки можно записать в виде разности двух нагрузок (20):

$$q(r, t) = q_1 \delta(t) (H_0(b - r) - H_0(r - a)),$$

откуда следует

$$q_n(t) = \frac{q_1 \delta(t)}{M_0 d_n \lambda_n} \left(b J_1(\lambda_n b) - a J_1(\lambda_n a) - \frac{J_0(\lambda_n r_1)}{I_0(\lambda_n r_1)} (b I_1(\lambda_n b) - a I_1(\lambda_n a)) \right),$$

после чего получим следующую искомую функцию времени:

$$T_n(t) = \frac{q_1 \sin(\omega_n t)}{M_0 d_n \lambda_n \omega_n} \left(b J_1(\lambda_n b) - a J_1(\lambda_n a) - \frac{J_0(\lambda_n r_1)}{I_0(\lambda_n r_1)} (b I_1(\lambda_n b) - a I_1(\lambda_n a)) \right). \quad (23)$$

В частном случае при $a = 0$ из (23) следует решение (21).

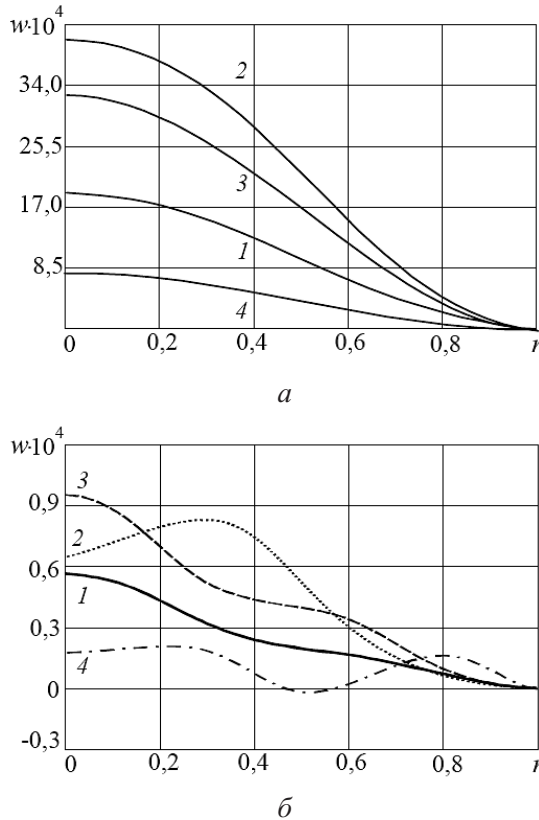


Рис. 4. Изменение прогиба вдоль радиуса пластины, не связанный (a) и связанный (b) с упругим основанием, в зависимости от кольцевого пятна нагрузки: 1 – $a = 0$; 2 – $a = 0,25$; 3 – $a = 0,5$; 4 – $a = 0,75$.

На рис. 5 показано ($t = \pi/(2\omega_0)$) изменение величины прогиба пластины в зависимости от расположения внутреннего радиуса кольцевого пятна импульсной нагрузки. Ширина пятна принята $b - a = 0,25$, интенсивность нагрузки $q_1 = 700$ Па · с. В этом случае наличие упругого основания также приводит к уменьшению величины прогиба.

Заключение. Таким образом, рассмотренная методика позволяет исследовать вынужденные колебания круглых трехслойных пластин на упругом основании, находящихся под действием локальных поверхностных осесим-

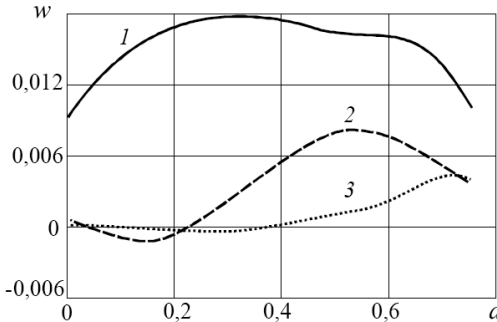


Рис. 5. Зависимость прогиба в центре пластины от расположения кольцевого пятна импульсной нагрузки: 1 – без упругого основания; 2 – $\kappa_0 = 10^8$ Па/м, $t = 0,0325$ с; 3 – $\kappa_0 = 10^9$ Па/м, $t = 0,0275$ с.

метрических нагрузок, включая импульсные. Полученные аналитические и численные решения ряда начально-краевых задач для пластин с легким заполнителем могут быть использованы для решения практических задач.

Резюме

Розглянуто віссиметричні поперечні коливання круглої тришарової пластини з легким заповнювачем на пружній основі під дією раптово прикладеного й імпульсного поверхневого навантаження. Реакція основи описується моделлю Вінклера. Для аналізу кінематики несиметричного по товщині пакета прийнято гіпотези ломаної нормалі. Аналітичний розв'язок отримано з використанням системи функцій Хевісайда і δ -функції Дірака. Проведено числові розрахунки та порівняльний аналіз отриманих рішень.

1. Mirsa S. and Singh A. V. Axisymmetric vibration of circular sandwich plates // AIAA J. – 1974. – 12, No. 10. – P. 1418 – 1420.
2. Григорюк Э. И., Кассихин В. Н. Малые поперечные колебания слоистых круговых пластин // Пробл. прочности. – 1982. – № 10. – С. 65 – 68.
3. Старовойтов Э. И., Яровая А. В., Леоненко Д. В. Локальные и импульсные нагружения трехслойных элементов конструкций. – Гомель: БелГУТ, 2003. – 367 с.
4. Старовойтов Э. И., Леоненко Д. В., Яровая А. В. Колебания круговых трехслойных пластин под действием распределенных локальных нагрузок // Пробл. прочности. – 2002. – № 5. – С. 70 – 79.
5. Старовойтов Э. И., Леоненко Д. В., Яровая А. В. Колебания круглых трехслойных пластин под действием поверхностных нагрузок различных форм // Там же. – 2003. – № 4. – С. 32 – 39.
6. Старовойтов Э. И., Леоненко Д. В., Яровая А. В. Динамика трехслойных стержней // Там же. – 2006. – № 6. – С. 133 – 146.
7. Долгополова Н. В., Угримов С. В., Шупиков А. Н. Нестационарное деформирование многослойных пластин и цилиндрических оболочек на упругом основании // Вестн. НТУ “ХПИ”. – 2001. – № 25. – С. 74 – 81.

8. Шупиков А. Н., Бузько Я. П., Сметанкина Н. В., Угримов С. В. Нестационарные колебания многослойных пластин и оболочек и их оптимизация. – Харьков: ХИЭУ, 2004. – 252 с.
9. Старовойтов Э. И., Яровая А. В., Леоненко Д. В. Деформирование трехслойных элементов конструкций на упругом основании. – М.: Физматлит, 2006. – 379 с.
10. Старовойтов Э. И., Яровая А. В., Леоненко Д. В. Деформирование упругопластической круговой трехслойной пластины на основании Винклера при термосиловом нагружении // Пробл. прочности. – 2007. – № 5. – С. 68 – 80.
11. Камке Э. Справочник по обыкновенным дифференциальным уравнениям. – М.: Наука, 1976. – 576 с.
12. Бейтмен Г., Эрдейи А. Высшие трансцендентные функции. – М.: Наука, 1966. – Т. 2. – 295 с.

Поступила 09. 09. 2008